

# Représentations de réflexion de groupes de Coxeter

## Première partie: le cas irréductible

François ZARA

### Résumé

Dans ce travail on étudie des représentations de certains groupes de Coxeter pour en déduire des propriétés des groupes de réflexions correspondants.

### Abstract

In this work we study representations of certain Coxeter groups to obtain some properties of the corresponding reflection groups.

1 2

## 1 Introduction

Dans ce travail on étudie certaines représentations de groupes de Coxeter de rang fini, irréductibles et 2-sphériques : tous les  $m_{st}$  (ordre du produit des réflexions  $s$  et  $t$ ) sont finis (conditions H(Cox)). Dans cette généralité, le problème est hors de portée, aussi nous nous restreignons à certaines classes de représentations. Soient  $K$  un corps de caractéristique 0,  $(W, S)$  un système de Coxeter qui satisfait aux conditions précédentes et  $M$  un  $K$ -espace vectoriel. Soit  $R : W \rightarrow GL(M)$  une représentation de  $W$  qui satisfait aux conditions H(R) suivantes :

1.  $\forall s \in S$ ,  $R(s)$  est une réflexion de  $M$  ;
2. Si  $s \in S$  et si  $a_s$  est un vecteur directeur de  $R(s)$ , alors  $A := \{a_s | s \in S\}$  est une base de  $M$  ;
3.  $\forall (s, t) \in S \times S$ ,  $R(s)R(t)$  a le même ordre que  $st$ .

---

1. Mathematics Subject Classification.20F55,22E40,51F15.

2. Mots clés et phrases : groupes de Coxeter, groupes de réflexion, construction de représentations de réflexion de groupes de Coxeter.

dans ces conditions, on dit que  $R$  est une **représentation de réflexion** de  $W$ . On remarque que  $R(W)$  est un sous-groupe de  $GL(M)$  engendré par des réflexions. Le premier but de ce travail est de construire **toutes** (à équivalence près) les représentations de réflexion de  $W$ . Pour cela on utilise les outils et résultats suivants :

1) Soient  $r$  et  $s$  deux réflexions de  $M$ , de vecteurs directeurs  $a$  et  $b$  respectivement. Il existe  $\lambda$  et  $\mu$  dans  $K$  tels que :

$$r(a) = -a, \quad r(b) = b + \lambda a \quad \text{et} \quad s(a) = a + \mu b, \quad s(b) = -b.$$

Alors  $rs$  est d'ordre fini  $n \geq 3$  si et seulement si il existe un entier  $k$  premier à  $n$  tel que  $\lambda\mu = 4 \cos^2(\frac{k\pi}{n})$  et  $rs$  est d'ordre 2 si et seulement si  $\lambda = \mu = 0$ . L'élément  $4 \cos^2(\frac{k\pi}{n})$  est racine d'un polynôme unitaire à coefficients entiers  $u_n(X)$  et cette famille de polynômes est une famille de polynômes orthogonaux. On a un facteur irréductible de  $u_n(X) : v_n(X)$  dont les racines sont celles pour lesquelles  $(k, n) = 1$ . Ces polynômes ont été définis d'abord dans [9].

2) A chaque groupe de Coxeter  $W$ , on peut associer un graphe  $\Gamma(W)$  dont les sommets sont les éléments de  $S$  et  $(s, t)$  est une arête de  $\Gamma(W)$  si l'ordre  $m_{st}$  de  $st$  est  $\geq 3$ . On décore chaque arête du symbole  $m_{st}$ . Si  $W$  est irréductible,  $\Gamma(W)$  est connexe. On appelle aussi  $\Gamma(W)$  un diagramme.

Pour construire la représentation  $R$  satisfaisant aux conditions H(R), on choisit un arbre couvrant  $T$  et  $s_0$  un sommet (une racine) de  $\Gamma(W)$ . On appelle  $E(\Gamma(W))$  ou  $E(\Gamma)$ , l'ensemble des arêtes de  $\Gamma(W)$  et  $E(T)$  l'ensemble des arêtes de  $T$ , enfin on pose  $E'(T) := E(\Gamma(W)) - E(T)$ .

On définit sur l'ensemble des sommets de  $\Gamma(W)$  une relation d'ordre, notée  $\preceq$  (qui dépend de  $T$  et de  $s_0$ ) de la manière suivante :  $s \preceq t$  si  $s$  et  $t$  sont sur la même branche de l'arbre  $T$  et si la distance de  $s$  à  $s_0$  (dans  $T$ ) est  $\leq$  à la distance de  $t$  à  $s_0$  (dans  $T$ ).

On construit maintenant la représentation  $R$ . Pour cela on fait un certain nombre de choix.

1.  $\forall e \in E(\Gamma(W)), \alpha_e$  une racine de  $v_{m_e}(X)$  ;
2. soit  $e := (s, t) \in E'(T)$ . On pose  $e' := (t, s)$  (notation seulement) et on choisit  $l_e$  et  $l_{e'}$  dans  $K$  de telle sorte que  $l_e l_{e'} = \alpha_{m_e}$ .

On appelle  $K_0$  un corps de décomposition de l'ensemble des polynômes  $u_{m_e}(X)$ ,  $e$  parcourant l'ensemble des arêtes de  $E(\Gamma(W))$ . On peut choisir  $K_0$  comme sous-corps de  $\mathbb{R}$ , et alors  $K_0$  est un sous-corps réel d'un corps cyclotomique. On choisit alors  $K$  comme engendré par  $K_0$  et tous les  $l_e, e \in E'(T)$ .

On définit des éléments  $\zeta_s$  ( $s \in S$ ) de  $GL(M)$  de la manière suivante :

- $\forall s \in S, \zeta_s(a_s) = -a_s$  ;
- soit  $(s, t) \in S^2$  tel que  $st = ts \neq 1$ , on pose  $\zeta_t(a_s) = a_s$  ;
- soit  $e := (s, t) \in E(T)$  avec  $s \preceq t$ , on pose  $\zeta_s(a_t) = \alpha_e a_s + a_t$  et  $\zeta_t(a_s) = a_s + a_t$
- Soit  $e := (s, t) \in E'(T)$ , on pose  $\zeta_s(a_t) = l_e a_s + a_t$  et  $\zeta_t(a_s) = l_{e'} a_t + a_s$

**Théorème 1.** *L'application  $R : s \mapsto \zeta_s : S \rightarrow \{\zeta_s | s \in S\}$  se prolonge en une représentation (notée aussi  $R$ )  $R : W \rightarrow GL(M)$  qui possède par construction les propriétés  $H(R)$ . On dit que  $R$  est obtenue par la **construction fondamentale**. On pose  $G := \text{Im}(R)$ .*

*Si l'on change d'arbre couvrant ou bien si l'on change de racines, on obtient une représentation équivalente. Par contre si l'on change l'un des  $\alpha_e$  ou bien l'un des  $l_e$  on obtient des représentations inéquivalentes. De plus on obtient ainsi toutes les représentations de réflexion de  $W$  qui satisfont à  $H(R)$  à équivalence près.*

Soient  $\sigma$  un automorphisme de  $K$  et  $\Phi$  l'espace vectoriel des formes  $\sigma$ -sesquilineaires invariantes par  $G$ . Alors  $\dim \Phi \leq 1$ . Dans la plupart des cas on a  $\dim \Phi = 0$ . C'est l'une des raisons pour lesquelles on n'utilisera pas les éléments de  $\Phi$  lorsque celui-ci est  $\neq 0$ .

Avec les hypothèses du théorème, le changement de racine permet de distinguer les systèmes de racines de type  $B_n$  et  $C_n$ .

## 2 Généralités sur les groupes de réflexion

### 2.1 Quelques propriétés du produit de deux réflexions

On rappelle ici qu'une réflexion d'un espace vectoriel  $M$  sur un corps  $K$  de caractéristique  $\neq 2$  est un élément  $r$  de  $GL(M)$ , d'ordre 2, tel que  $H(r) := \text{Ker}(r - \text{Id}_M)$  est un hyperplan de  $M$ . Un générateur de  $\text{Im}(r - \text{Id}_M)$  s'appelle un vecteur directeur de  $r$ . On a  $M = H(r) \oplus \text{Im}(r - \text{Id}_M)$ . On pose :  $\langle v_r^- \rangle = \text{Im}(r - \text{id}_M)$ .

Dans toute la suite on utilise les résultats et notations de [9].

On fait l'hypothèse H(1) suivante, valable dans toute la suite de ce travail :

**Hypothèse 1.**  $K$  est un corps de caractéristique 0 et  $M$  est un  $K$ -espace vectoriel de dimension finie.

Soient  $r$  et  $s$  deux réflexions de  $M$ , de vecteurs directeurs  $a$  et  $b$  respectivement et d'hyperplans de points fixes  $H(r)$  et  $H(s)$ . Si  $(a, b)$  est un système libre, on peut écrire :

$$r(a) = -a, \quad r(b) = b + c(r, a; s, b)a \quad \text{et} \quad s(a) = a + c(s, b; r, a)b, \quad s(b) = -b,$$

avec  $c(r, a; s, b)$  et  $c(s, b; r, a)$  deux éléments de  $K$ .

**Définition 1.** On pose  $C(r, s) := c(r, a; s, b)c(s, b; r, a)$  et on appelle  $C(r, s)$  le **coefficient de Cartan** du couple  $(r, s)$ .

**Proposition 1.** *On garde les hypothèses et notations précédentes. On a :*

1.  $C(r, s)$  ne dépend que de  $r$  et  $s$  et  $C(r, s) = C(s, r)$ .

2. (a)  $rs$  est d'ordre fini  $\geq 3$  si et seulement si il existe un entier  $k$  premier à  $n$  tel que  $C(r, s) = 4 \cos^2 \frac{k\pi}{n}$  si et seulement si  $C(r, s)$  est racine du polynôme  $v_n(X)$ .

(b)  $rs$  est d'ordre 2 si et seulement si  $c(r, a; s, b) = c(s, b; r, a) = 0$ .

*Démonstration.* Pour le 1), on peut remarquer que si l'on remplace  $a$  par  $\lambda a$  et  $b$  par  $\mu b$  avec  $\lambda\mu \in K^*(= K - \{0\})$  alors on a  $c(r, \lambda a; s, \mu b) = \lambda^{-1}\mu c(r, a; s, b)$  et  $c(s, \mu b; r, \lambda a) = \lambda\mu^{-1}c(s, b; r, a)$ .

Il est clair que  $C(r, s) = C(s, r)$ .

Le 2) est bien connu. On peut en trouver une démonstration dans [9].  $\square$

**Notation 1.** Soient  $K$  un corps,  $M$  un  $K$ -espace vectoriel de dimension finie et  $g$  un élément de  $GL(M)$ . On appelle  $P_g(X)$  le polynôme caractéristique de  $g$ .

**Proposition 2.** On garde les hypothèses (H1) et on suppose que  $M$  est de dimension  $m$ . Soient  $r$  et  $s$  deux réflexions de  $M$  de vecteurs directeurs  $a$  et  $b$  respectivement. On suppose que  $(a, b)$  est un système libre. Alors :

$$P_{rs}(X) = (X - 1)^{m-2}(X^2 - (-2 + C(r, s))X + 1)$$

En particulier la trace de  $rs$  est  $Tr(rs) = m - 4 + C(r, s)$ .

*Démonstration.* Il existe des éléments  $c_i$  de  $M$  ( $1 \leq i \leq m - 2$ ) tels que  $(a, b, c_1 \cdots c_{m-2})$  soit une base de  $M$  et  $r(c_i) = s(c_i) = c_i \forall i$ . Il suffit donc de se placer dans le sous-espace de  $M$  engendré par  $a$  et  $b$ . On a alors :

$$r = \begin{pmatrix} -1 & c(r, a; b, s) \\ 0 & 1 \end{pmatrix}, s = \begin{pmatrix} 1 & 0 \\ c(s, b; r, a) & -1 \end{pmatrix}$$

d'où

$$rs = \begin{pmatrix} -1 + C(r, s) & -c(r, a; s, b) \\ c(s, b; r, a) & -1 \end{pmatrix}$$

donc  $P_{rs}(X) = (X - 1)^{m-2}(X^2 - (-2 + C(r, s))X + 1)$ .  $\square$

## 2.2 Caractérisation du produit de deux réflexions qui est unipotent.

**Proposition 3.** On garde les hypothèses  $H(1)$  et les notations précédentes. Les conditions suivantes sont équivalentes :

1.  $rs$  est une application unipotente ( $\neq Id_M$ );
2.  $C(r, s) = 4$ ;
3.  $H(r) \cap H(s) \cap \langle a, b \rangle \neq 0$ ;

$$4. H(r) = H(s).$$

*Démonstration.* D'après la proposition 2 il est clair que 1. et 2. sont équivalents. Comme  $H(r)$  est un hyperplan, on a 4.  $\Rightarrow$  3.. Le sous-espace propre de  $rs$  correspondant à la valeur propre 1 est un hyperplan de  $M$  lorsque  $rs$  est unipotent ( $\neq Id_M$ ), donc il est égal à  $H(r)$  et à  $H(s)$  d'où 1.  $\Rightarrow$  4. Supposons la condition 3. satisfaite et soit

$$x = \alpha a + \beta b \in H(r) \cap H(s) \cap \langle a, b \rangle \neq 0$$

On a :

$$\begin{aligned} r(x) = x &= -\alpha a + \beta(b + c(r, a; s, b)a) = \alpha a + \beta b \\ s(x) = x &= \alpha(a + c(s, b; r, a)b) - \beta b = \alpha a + \beta b \end{aligned}$$

On obtient le système suivant :

$$\begin{aligned} 2\alpha - \beta c(r, a; s, b) &= 0 \\ \alpha c(s, b; r, a) - 2\beta &= 0 \end{aligned}$$

et  $x \neq 0$  si et seulement si le déterminant de ce système est nul, c'est à dire si  $-4 + C(r, s) = 0$ , donc 3.  $\Rightarrow$  2.  $\square$

Nous étendons maintenant la définition de  $C(r, s)$  au cas où  $\langle a \rangle = \langle b \rangle$  où  $a$  (resp.  $b$ ) est un vecteur directeur de  $r$  (resp.  $s$ ).

**Définition 2.** Généralisation du coefficient de Cartan.

On garde les hypothèses de la proposition 1. Soient  $r$  et  $s$  deux réflexions de  $M$ , de vecteurs directeurs  $a$  et  $b$  respectivement. On suppose que  $\langle a \rangle = \langle b \rangle$  : il existe  $\lambda \in K^*$  tel que  $b = \lambda a$ . On a

$r(b) = -b = b - 2b = b - 2\lambda a$  et  $s(a) = -a = a - 2a = a - 2\lambda^{-1}b$ . On pose  $C(r, s) := (-2\lambda)(-2\lambda^{-1}) = 4$  : coefficient de Cartan du couple  $(r, s)$ .

On a alors la caractérisation suivante :

**Proposition 4.** Avec les hypothèses de la proposition 1, soient  $r$  et  $s$  deux réflexions distinctes de  $M$ . Alors  $rs$  est une application unipotente si et seulement si  $C(r, s) = 4$ .

*Démonstration.* Soient  $a$  et  $b$  des vecteurs directeurs de  $r$  et  $s$  respectivement. On a déjà vu (proposition 1) le résultat lorsque  $(a, b)$  est un système libre. On suppose donc que  $\langle a \rangle = \langle b \rangle$ .  $H(r)$  et  $H(s)$  sont deux hyperplans distincts et  $H(r) \cap H(s)$  est de codimension 2 dans  $M$ . On peut donc supposer que  $H(r) \cap H(s) = 0$ , c'est à dire que  $M$  est de dimension 2,  $H(r)$  et  $H(s)$  étant alors des droites. Si  $H(r) = \langle x \rangle$  et  $H(s) = \langle y \rangle$ , on a  $M = \langle a, x \rangle = \langle a, y \rangle$  avec  $y = \lambda x + \mu a$  et  $\lambda\mu \neq 0$ . On obtient  $s(y) = y = \lambda s(x) - \mu a = \lambda x + \mu a$  donc  $s(x) = x + 2\mu\lambda^{-1}a$ . Dans la base  $(x, a)$  de  $M$   $rs(x) = x - 2\mu\lambda^{-1}a$  et  $rs(a) = a$ ,  $rs$  est donc unipotente et d'après ce qui précède,  $C(r, s) = 4$ .  $\square$

## 2.3 Premières propriétés d'un groupe engendré par des réflexions

Nous donnons d'abord quelques définitions dont nous aurons besoin dans toute la suite.

- Définition 3.**
1. Soit  $G$  un groupe engendré par un ensemble  $S$  d'involutions. on dit que  $G$  est **2-sphérique** si  $\forall (s, t) \in S \times S$ , l'ordre  $m_{st}$  de  $st$  est fini.
  2. soient  $G$  et  $G'$  deux groupes 2-sphériques engendrés par  $S$  et  $S'$  respectivement. Soit  $R : G \rightarrow G'$  un morphisme tel que  $R(S) \subset S'$ . On dit que  $R$  est un **bon** morphisme si  $\forall (s, t) \in S \times S$ ,  $R(s)R(t)$  a le même ordre que  $st$ .

Dans toute la suite de ce travail,  $K$  est un corps de caractéristique 0,  $M$  est un  $K$ -espace vectoriel de dimension finie  $n$  et  $G$  est un sous-groupe de  $GL(M)$  engendré par un ensemble  $S$  de réflexions (on parle dans ce cas de **système de réflexion**  $(G, S)$ ).

On définit le **graphe de Coxeter** de  $(G, S)$ ,  $\Gamma(G)$  de la manière suivante :

- Les sommets de  $\Gamma(G)$  sont les éléments de  $S$  ;
- $(s, t) \in S \times S$  est une arête de  $\Gamma(G)$  si  $m_{st} \geq 3$ , où  $m_{st}$  est l'ordre de  $st$  ;
- on décore chaque arête de  $\Gamma(G)$  par le symbole  $m_{st}$ .

### Hypothèse 2.

1. On a  $|S| = \dim M (= n)$  ;
2.  $\forall (s, t) \in S \times S$ , l'ordre  $m_{st}$  de  $st$  est fini ;
3. le graphe  $\Gamma(G)$  est connexe ;
4. si  $s \in S$  on appelle  $a_s$  un vecteur directeur de  $s$  ; alors  $\mathcal{A} := (a_s | s \in S)$  est une base de  $M$

Soit  $(G, S)$  un système de réflexion. On pose  $\mathbf{T} := \{gsg^{-1} | g \in G, s \in S\}$  ensemble des réflexions du système  $(G, S)$ .

On peut remarquer que toutes les réflexions de  $G$  sont de déterminant  $-1$ , donc  $G$  contient un sous-groupe, noté  $G^+$ , formé des éléments de  $G$  de déterminant  $+1$ , ou encore qui sont produits d'un nombre pair d'éléments de  $S$  :  $G^+ = G \cap SL(M)$ . Il est clair que  $G^+$  est d'indice 2 dans  $G$ . On a toujours  $D(G) (= [G, G]) \subset G^+$ .

Comme  $G/D(G)$  est engendré par les images des éléments de  $S$ , on voit que c'est un 2-groupe commutatif élémentaire d'ordre  $2^\omega$ , où  $\omega$  est le nombre des classes de conjugaison contenues dans  $\mathbf{T}$ .

### Proposition 5.

1.  $C_{GL(M)}(G)$  est formé d'applications scalaires ;

2. soit  $z \in Z(G)$ . Si  $\det z = 1$ , l'ordre de  $z$  est un diviseur de  $n$ ; si  $\det z = -1$ , l'ordre de  $z$  est un diviseur de  $2n$ ;
3. si  $C_M(G) \neq 0$ , on a  $Z(G) = 1$ .

*Démonstration.* 1) Soit  $z \in C_{GL(M)}(G)$ . Pour tout  $t \in \mathbf{T}$ , si  $b$  est un vecteur directeur de  $t$ ,  $z(b) = \lambda_t b$  avec  $\lambda_t \in K^*$ . Soit  $e = (s, t) \in E(\Gamma(G))$ . On a  $s(a_t) = a_t + \mu_s a_s$ ,  $t(a_s) = a_s + \mu_t a_t$  et  $sts(a_s) = a_s - \mu_t(a_t + \mu_s a_s)$  avec  $\mu_s \mu_t \neq 0$ . On obtient  $z(a_s) = \lambda_s a_s$ ,  $z(a_t) = \lambda_t a_t$  et  $z(a_t + \mu_s a_s) = \lambda_{sts}(a_t + \mu_s a_s)$ ; mais  $z(a_t + \mu_s a_s) = \lambda_t a_t + \mu_s \lambda_s a_s$ . Comme  $(a_s, a_t)$  est un système libre et comme  $\mu_s \neq 0$ , on obtient  $\lambda_{sts} = \lambda_s = \lambda_t$ . Comme  $\Gamma(G)$  est connexe, on a le résultat :  $\exists \lambda \in K^*$  tel que  $\forall m \in M, z(m) = \lambda m$  puisque l'ensemble  $(a_s | s \in S)$  est une base de  $M$  :  $z$  est une application scalaire.

2) On a alors  $\det z = \lambda^n$ . Si  $\det z = 1$ ,  $\lambda^n = 1$  et l'ordre de  $z$  est un diviseur de  $n$ ; si  $\det z = -1$ , l'ordre de  $z$  est un diviseur de  $2n$ .

3) Si  $m \in C_M(G) - 0$ , on a  $z(m) = m = \lambda m$  donc  $\lambda = 1$  et  $z = 1 : Z(G) = 1$ . □

On définit maintenant la matrice de Cartan. On garde les hypothèses et notations précédentes.

On suppose que  $S = \{s_1, s_2, \dots, s_n\}$  et que pour tout  $i$ ,  $a_i$  est un vecteur directeur de  $s_i$ . On a  $\forall (i, j) (1 \leq i, j \leq n), s_i(a_j) = a_j - \lambda_{ij} a_i$  où  $\lambda_{ij} = -C(s_i, s_j)$  et  $\lambda_{ij} = \lambda_{ji} = 0$  si  $s_i s_j = s_j s_i \neq 1$ .

**Définition 4.** On appelle **matrice de Cartan** de  $G$  (par rapport à la base  $\mathcal{A}$  de  $M$ ) la matrice

$$Car(G) = (\lambda_{ij})_{1 \leq i, j \leq n}.$$

### 3 La construction fondamentale

Dans toute la suite de ce travail on fait les hypothèses suivantes H(Cox) sur le système de Coxeter  $(W, S)$  :  $(W, S)$  est de rang fini, 2-sphérique et irréductible.

Soit  $(W, S)$  un système de Coxeter. Le but de cette section est de construire des représentations  $R \rightarrow GL(M)$  avec  $M$   $K$ -espace vectoriel de  $W$ , qui sont telles que les éléments  $R(s)$  soient des réflexions de  $M$  et  $\forall (s, t) \in S \times S, R(s)R(t)$  a le même ordre que  $st$ .

**Notation 2.** On pose  $G := ImR$ .

On désignera par la même lettre  $g \in W$  et  $R(g)$  lorsqu'il n'y aura pas de confusion.

On appelle  $K_0$  un corps de décomposition de l'ensemble des polynômes  $v_{m_e}(X)$  (si

$e = (s, t), m_e = m_{st}$ ). On peut remarquer que l'on peut choisir  $K_0 \subset \mathbb{R}$  et alors  $K_0$  est un sous-corps réel d'un corps cyclotomique. **Dans la suite, on fera toujours ce choix pour  $K_0$ .**

### 3.1 Quelques résultats de la théorie des graphes

**Proposition 6.** Soit  $\Gamma$  un graphe fini simple (sans boucle ni arête multiple) connexe et soient  $T$  un **arbre couvrant** de  $\Gamma$  et  $s_0$  un sommet de  $\Gamma$  (appelé **racine** de  $T$ ). On appelle  $E(\Gamma)$  l'ensemble des arêtes de  $\Gamma$ ,  $E(T)$  l'ensemble des arêtes de  $T$  et on pose  $E'(T) := E(\Gamma) - E(T)$ .

1) On définit sur l'ensemble des sommets de  $\Gamma$  une relation d'ordre, notée  $\preceq$  (qui dépend de  $T$  et de  $s_0$ ) de la manière suivante :  $s \preceq t$  si  $s$  et  $t$  sont sur la même branche de l'arbre  $T$  et si la distance de  $s$  à  $s_0$  (dans  $T$ ) est  $\leq$  à la distance de  $t$  à  $s_0$  (dans  $T$ ).

2) Soit  $e := (s, t) \in E'(T)$ . Lorsque l'on adjoint cette arête à  $T$ , on obtient un unique circuit

$$C (= C(e)) := \{s_1 = s, s_2, \dots, s_{n-1}, s_n = t\}$$

avec  $(s_i, s_{i+1}) \in E(T)$  ( $1 \leq i \leq n-1$ ). Alors il existe un unique  $p$  ( $1 \leq p \leq n$ ) tel que  $\forall i$  ( $1 \leq p \leq n$ ) on ait  $s_p \preceq s_i$ . On dit que  $s_p$  est **l'entrée** dans le circuit  $C$ .

*Démonstration.* □

**Proposition 7** (Öre). Soient  $T$  et  $T'$  deux arbres couvrants d'un graphe fini, simple, connexe  $\Gamma$ . Alors on peut passer de  $T$  à  $T'$  par une suite finie d'opérations de la forme :

On ajoute une arête à  $T$  pour obtenir un cycle, puis on enlève une autre arête de ce cycle pour obtenir un arbre couvrant. On obtient  $T'$  après une suite finie de ces opérations. (voir [8], théorème 6.4.4).

### 3.2 La construction fondamentale

On considère le graphe  $\Gamma(G)$ .

Soient  $K'$  un sur-corps de  $K_0$  et  $M'$  un  $K'$ -espace vectoriel. On va construire des représentations  $R \rightarrow GL(M')$  qui satisfont aux conditions H(R) suivantes :

1.  $\forall s \in S$ ,  $R(s)$  est une réflexion de  $M$  ;
2. Si  $s \in S$  et si  $a_s$  est un vecteur directeur de  $R(s)$ , alors  $\mathcal{A} := \{a_s | s \in S\}$  est une base de  $M$  ;
3.  $\forall (s, t) \in S \times S$ ,  $R(s)R(t)$  a le même ordre que  $st$ .

Pour cela, nous allons faire une série de choix.

On choisit un arbre couvrant  $T$  et  $s_0$  un sommet (une racine) de  $\Gamma(G)$ . On appelle

$E(\Gamma(G))$  l'ensemble des arêtes de  $\Gamma(G)$  et  $E(T)$  l'ensemble des arêtes de  $T$ , enfin on pose  $E'(T) := E(\Gamma(G)) - E(T)$ .

On définit sur l'ensemble des sommets de  $\Gamma(G)$  une relation d'ordre, notée  $\preceq$  comme dans la proposition 6.

On définit des éléments  $\zeta_s$  ( $s \in S$ ) de  $GL(M)$  de la manière suivante :

- $\forall s \in S, \zeta_s(a_s) = -a_s$  ;
- soit  $(s, t) \in S^2$  tel que  $st = ts \neq 1$ , on pose  $\zeta_t(a_s) = a_s$  ;
- soit  $e := (s, t) \in E(T)$  avec  $s \preceq t$ , on pose  $\zeta_s(a_t) = \alpha_e a_s + a_t$  et  $\zeta_t(a_s) = a_s + a_t$  ;
- soit  $e := (s, t) \in E'_T$ , on pose  $\zeta_s(a_t) = l_e a_s + a_t$  et  $\zeta_t(a_s) = l'_e a_t + a_s$ .

**Notation 3.** On appelle  $K := K_0(l_e | e \in E'(T))$  le sous-corps de  $K'$  engendré par  $K_0$  et tous les  $l_e$  ( $e \in E'(T)$ ) et on pose  $M := M' \otimes_{K_0} K$ .

L'application  $R : s \mapsto \zeta_s : S \rightarrow GL(M)$  se prolonge en une représentation (notée aussi  $R$ )  $R : W \rightarrow GL(M)$  qui possède par construction les propriétés H(R). On dit que  $R$  est obtenue par la **construction fondamentale**.

On dit que  $\mathcal{A} := \{a_s | s \in S\}$  est une **base adaptée** à la construction fondamentale, toute autre base s'obtient en multipliant chaque élément de  $\mathcal{A}$  par un scalaire non nul, toutes les autres bases adaptées s'obtiennent en multipliant tous les éléments de  $\mathcal{A}$  par un même scalaire.

**Définition 5.** On pose  $\mathcal{P}(G) = \mathcal{P}((\alpha_e | e \in E(T)) \cup (l_e | e \in E'_T))$  et on appelle  $\mathcal{P}(G)$  le **système de paramètres** de  $G$ .

On peut remarquer que si  $G$  et  $G'$  ont le même système de paramètres alors ils sont isomorphes ; de plus tous les éléments des matrices des éléments de  $Im R$  s'écrivent dans l'anneau  $\mathcal{O}(K)$  sous-anneau de  $K$  engendré par les éléments du système de paramètres.

**Théorème 2** (Théorème fondamental). *Soit  $R$  une représentation de réflexion du groupe de Coxeter  $W$ . Alors :*

1. *Si l'on change d'arbre couvrant ou bien si l'on change de racines, on obtient une représentation équivalente.*
2. *Si l'on change de système de paramètres, on obtient une représentation inéquivalente.*

La démonstration va occuper le reste de cette section.

**Proposition 8.** *Si dans la construction fondamentale, on change la racine de l'arbre, on obtient une représentation équivalente.*

*Démonstration.* Comme le graphe  $\Gamma(G)$  est connexe, on peut choisir  $s_1 \in S$  tel que  $e := (s_0, s_1) \in E(T)$ . On pose pour simplifier la notation  $\alpha := \alpha_{m_e}$ . On pose  $a'_s := \lambda_s a_s$  avec  $\lambda_s \in K^*(s \in S)$  et  $\lambda_1 = 1$ . On a  $a'_1 = a_1$ . On appelle  $R'$  la représentation de  $W$  ainsi obtenue.

On définit  $\Gamma_i$  ( $i = 1, 2$ ) par :

- $\Gamma_1 := \{s | s \in S\}$ , la distance de  $s$  à  $s_0$  dans  $T$  est  $\leq$  à la distance de  $s$  à  $s_1$  dans  $T$ ,
- $\Gamma_2 := S - \Gamma_1$ .

D'après la construction fondamentale avec  $s_1$  comme racine on a :

$$\begin{aligned} s_0(a_1) &= a_1 + a'_0 \\ s_1(a'_0) &= a'_0 + \alpha a_1 \end{aligned}$$

mais  $a'_0 = \lambda_0 a_0$  et  $s_0(a_1) = a_1 + \alpha a_0$ , donc  $\lambda_0 = \alpha$ .

- Soit  $t \in \Gamma_1 - \{s_1\}$  tel que  $(t, s_0) \in E(T)$ , alors  $a'_t = t(a'_0) - a'_0 = \alpha(t(a_0) - a_0) = \alpha a_t = \lambda_t a_t$ , donc  $\lambda_t = \alpha$ . En parcourant la partie de l'arbre qui est dans  $\Gamma_1$ , on voit que  $\forall s \in \Gamma_1, \lambda_s = \alpha$ .
- Soit  $t \in \Gamma_2$  tel que  $(t, s_1) \in E(T)$ . On a  $a'_t = t(a_1) - a_1 = a_t$ , donc  $\lambda_t = 1$ . En parcourant la partie de l'arbre qui est dans  $\Gamma_2$ , on voit que  $\forall s \in \Gamma_2, \lambda_s = 1$ .

Soit maintenant  $g \in GL(M)$  défini de la manière suivante : si  $s \in \Gamma_1$  on pose  $g(a_s) := \alpha a_s$ , si  $s \in \Gamma_2$  on pose  $g(a_s) = a_s$ . Alors  $g$  est un opérateur d'entrelacement entre les représentations  $R$  et  $R'$ .

En répétant ce raisonnement avec tous les éléments de  $S$ , on obtient le résultat.  $\square$

### 3.3 Changement d'arbres

**Proposition 9.** *Si dans la construction fondamentale on change d'arbre couvrant, on obtient une représentation équivalente.*

*Démonstration.* D'après la proposition 8 on peut choisir la racine de l'arbre comme l'on veut. On suppose que  $C := \{s_1, s_2, \dots, s_n\}$  est un circuit de  $\Gamma(G)$  avec  $s_1$  racine de  $T$ , les arêtes  $(s_i, s_{i+1})$  ( $1 \leq i \leq n-1$ ) sont dans  $E(T)$  et  $(s_1, s_n) \in E'(T)$ . On enlève l'arête  $e_m := (s_m, s_{m+1})$  pour obtenir un autre arbre couvrant  $T'$ , et on obtient ainsi la représentation  $R'$  de  $W$ .

Correspondant à  $T$  on a la base de  $M$  :  $A = (a_1, a_2, \dots, a_n) \cup \dots$  et correspondant à  $T'$  on a la base de  $M$  :  $A' = (a'_1, a'_2, \dots, a'_n) \cup \dots$  avec  $a'_s = \lambda_s a_s$  ( $s \in S$ ) et  $\lambda_1 = 1$  :  $a'_1 = a_1$ . On a  $l_{1n} l_{n1} = \alpha_{1n}$  ( $= \alpha_{n1}$ ) et  $l'_{m,m+1} l'_{m+1,m} = \alpha_{m,m+1}$  ( $= \alpha_{m+1,m}$ ). Les branches  $T'_j$  de  $T'$  qui passent par  $s_j$  ( $1 \leq j \leq m$ ) sont les mêmes que les branches  $T_j$  de  $T$  qui passent par  $s_j$ .

**Pour**  $1 \leq j \leq m$ , **on a**  $\lambda_j = 1$  **et**  $\forall s \in T'_j, a'_s = a_s$ .

*Démonstration.* On procède par récurrence sur  $j$ . le résultat es vrai par hypothèse pour  $j = 1$ . Soit  $j \geq 2$  et le résultat supposé vrai pour  $j - 1$ . Alors

$$s_j(a'_{j-1}) = s_j(a_{j-1}) = a'_{j-1} + a'_j = a_{j-1} + \lambda a_j = a_{j-1} + a_j$$

donc  $\lambda_j = 1$  et l'on a le résultat. Soit  $s \in T'_j$  ( $1 \leq j \leq m$ ), alors par le même raisonnement, on voit que  $a'_s = a_s$ .  $\square$

**Pour  $m + 1 \leq j \leq n$ , on a  $\lambda_n = l_{n,1}$  et  $\lambda_j = \alpha_{j,j+1}\alpha_{j+1,j+2} \cdots \alpha_{n-1,n}l_{n,1}$  et  $\forall s \in T'_j$  ( $m + 1 \leq j \leq n$ ), on a  $a'_s = \lambda_j a_s$ .**

*Démonstration.* On procède par récurrence descendante sur  $j$ . On a

$$s_n(a'_1) = s_n(a_1) = a_1 + l_{n,1}a_n = a'_1 + a'_n = a_1 + \lambda_n a_n,$$

donc  $\lambda_n = l_{n,1}$ .

Soit  $j < n$ . On suppose le résultat vrai pour  $j + 1$  :  $\lambda_{j+1} = \alpha_{j+1,j+2} \cdots \alpha_{n-1,n}l_{n,1}$ , alors

$$s_j(a'_{j+1}) = \lambda_{j+1}\alpha_{j,j+1}a_j + \lambda_{j+1}a_{j+1} = \lambda_j a_j + \lambda_{j+1}a_{j+1},$$

donc  $\lambda_j = \alpha_{j,j+1}\lambda_{j+1}$ , d'où le résultat. Si  $s \in T'_j$ , ( $m + 1 \leq j \leq n$ ), alors par le même raisonnement, on voit que  $a'_1 = \lambda_j a_1$ .  $\square$

### Fin de la démonstration.

On définit  $g \in GL(M)$  de la manière suivante :

- pour  $1 \leq j \leq m$ ,  $g(a_j) = a_j$  et  $\forall s \in T_j$ ,  $g(a_s) = a_s$ ;
- pour  $m + 1 \leq j \leq n$ ,  $g(a_j) = \lambda_j a_j$  et  $\forall s \in T_j$ ,  $g(a_s) = \lambda_j a_s$ .

Alors  $g$  est un opérateur d'entrelacement entre les représentations  $R(T)$  et  $R(T')$  de  $W$ .

Si  $T''$  est un arbre couvrant quelconque de  $\Gamma(G)$ , on utilise la proposition 7.  $\square$

**Proposition 10.** *Soit  $(W, S)$  un système de Coxeter qui satisfait aux hypothèses  $H(\text{Cox})$  et soit  $R$  et  $R'$  deux représentations de réflexion de  $W$  obtenues grâce à la construction fondamentale. On pose  $G := \text{Im}R$  et  $G' := \text{Im}R'$ . Si les systèmes de paramètres sont distincts, alors  $R$  et  $R'$  ne sont pas équivalentes.*

*Démonstration.* On peut supposer que l'on a les mêmes arbres couvrants et racines pour  $R$  et  $R'$ . Pour montrer que ces deux représentations ne sont pas équivalentes, on montre que leurs caractères sont distincts.

Soit  $e := (s, t)$  une arête de  $T$ . D'après la proposition 2, on a  $\text{tr}(st) = |S| - 4 + C(s, t)$  avec  $C(s, t) = \alpha_e$ . Si  $\alpha_e \neq \alpha_{e'}$ , les traces sont distinctes et on a le résultat dans ce cas.

Soit maintenant  $e := (s_1, s_m) \in E'(T)$ . On a  $l_e = l_{1,m}$  et  $l_{e'} = l_{m,1}$ . Si l'on ajoute cette arête à  $T$ , on obtient un circuit  $C := \{s_1, s_2, \dots, s_m\}$  avec pour  $1 \leq i \leq m-1$ ,

$(s_i, s_{i+1}) \in E(T)$ .

On pose  $u := s_1 s_2 \cdots s_m$  et on montre que  $tr(u)$  est un polynôme du premier degré en  $l_{e'}$  à coefficients dans  $K_0$  ou  $K$ , ce qui donne le résultat.

Comme on ne cherche que la trace de  $u$ , on n'écrira en général dans les calculs qui suivent que le coefficient de  $a_s$  ( $s \in S$ ) dans  $u(a_s)$ . On distingue deux cas suivant que dans  $C$ , sous-graphe de  $\Gamma(G)$ , il y a des cordes ou pas.

**Premier cas :** Dans  $C$  il n'y a pas de cordes : les seules arêtes de  $C$  contenant  $s_i$  sont  $(s_{i-1}, s_i)$  et  $(s_i, s_{i+1})$  ( $2 \leq i \leq m$  avec  $s_{m+1} = s_1$ ). On montre que dans ces conditions,  $tr(u)$  est un polynôme du premier degré en  $l_{e'}$  à coefficients dans  $K_0$ . Nous pouvons déjà remarquer (et cela sera aussi valable dans le deuxième cas) que si  $s \in S - C$ , alors  $u(a_s) = a_s + \cdots$ , donc en faisant ceci pour tous les éléments de  $S - C$ , on voit qu'ils contribuent  $|S| - m$  à la trace de  $u$ .

On a :

$$u(a_1) = s_1 s_2 \cdots s_{m-1} (a_1 + l_{e'} a_m) = s_1 s_2 (a_1) + l_{e'} s_1 s_2 \cdots s_{m-1} (a_m)$$

On a :

$$\begin{aligned} s_1 s_2 \cdots s_{m-1} (a_m) &= s_1 s_2 \cdots s_{m-2} (\alpha_{m-1,m} a_{m-1} + a_m) \\ &= \alpha_{m-1,m} s_1 s_2 \cdots s_{m-2} (a_{m-1}) + s_1 (a_m) \end{aligned}$$

mais  $s_1(a_m) = l_e a_1 + a_m$ ,  $s_1 s_2(a_1) = (\alpha_{1,2} - 1)a_1 + \cdots$ , puis par une récurrence facile, on trouve :

$$u(a_1) = ((\alpha_{1,2} - 1) + \alpha_{1,m} + \alpha_{1,2}\alpha_{2,3} \cdots \alpha_{m-1,m} l_{m-1,1}) a_1 + \cdots$$

pour  $2 \leq k \leq m - 1$ , on a :  $u(a_k) = (\alpha_{k,k-1} - 1)a_k + \cdots$  ;  $u(a_m) = -a_m + \cdots$ .

Il en résulte que l'on a :

$$tr(u) = |S| - m + \sum_{k=1}^m (\alpha_{k,k+1} - 1) + \left( \prod_{k=1}^{m-1} \alpha_{k,k+1} \right) l_{e'}$$

$$tr(u) = |S| - 2m + \sum_{k=1}^m \alpha_{k,k+1} + \left( \prod_{k=1}^{m-1} \alpha_{k,k+1} \right) l_{e'}$$

(les indices  $(\text{mod } m)$ ) et le résultat dans ce cas.

**Deuxième cas :** Dans  $C$  il y a des cordes : il existe  $p$  et  $q$  tels que  $1 \leq p < q \leq m$  et  $(s_p, s_q) \in E'(T)$ . Nous choisissons  $p$  et  $q$  de telle sorte que le circuit

$$C' := \{s_1, \cdots, s_{p-1}, s_p, s_q, s_{q+1}, \cdots, s_m\}$$

n'ait pas de cordes avec des variantes si  $p = 1$  ou si  $q = m$ . Cela est toujours possible car le graphe  $\Gamma(W)$  est fini.

Nous faisons le même calcul que dans le premier cas et nous voyons que si

$$v := s_1 \cdots s_{p-1} s_p s_q s_{q+1} \cdots s_m$$

alors  $tr(v)$  est un polynôme du premier degré en  $l_{e'}$  à coefficients dans  $K$  et le résultat dans ce cas.  $\square$

*Démonstration.* Ceci termine la démonstration du théorème fondamental.  $\square$

### 3.4 La représentation géométrique

Nous calculons maintenant les paramètres de la représentation géométrique.

Soit  $(W, S)$  un système de Coxeter satisfaisant aux hypothèses H(Cox). Dans la construction fondamentale, on a le corps  $K$ , pour chaque arête  $e$  de  $\Gamma(W)$ ,  $\alpha_e$  une racine de  $v_e(X)$  et enfin pour chaque arête de  $E'(T)$  un élément  $l_e$  de  $K$  et  $K = K_0(l_e \mid e \in E'(T))$ .

La représentation géométrique est dans la base  $B := (b_s = \lambda_s a_s \mid s \in S, \lambda_s \in K^*)$  où  $K = K_0(\cos \frac{\pi}{m_{st}} \mid (s, t) \in S^2)$  et l'on a, si  $(s, t) \in S^2, t \neq s$  :

$$- t(b_s) = b_s \text{ si } st = ts ;$$

$$- t(b_t) = -b_t ;$$

$$- \text{si } m_{st} \geq 3 \ t(b_s) = b_s + 2 \cos \frac{\pi}{m_{st}} b_t \text{ et } s(b_t) = b_t + 2 \cos \frac{\pi}{m_{st}} b_s.$$

Dans ce qui suit, nous allons déterminer les  $\lambda_s, (s \in S), \alpha_e, (e \in E(\Gamma(W)))$  et les  $l_e, (e \in E'(T))$ .

Dans la construction fondamentale, nous avons un arbre couvrant  $T$  et une racine  $s_0$  de cet arbre.

1) Soit  $(s, t) \in E(T)$  avec  $s \preccurlyeq t$ . Alors on a

$$t(b_s) = \lambda_s a_s + \lambda_t 2 \cos \frac{\pi}{m_{st}} a_t = t(\lambda_s a_s) = \lambda_s (a_s + a_t)$$

donc  $\lambda_s = \lambda_t 2 \cos \frac{\pi}{m_{st}}$  ;

$$s(b_t) = \lambda_t a_t + \lambda_s 2 \cos \frac{\pi}{m_{st}} = s(\lambda_t a_t) = \lambda_t a_t + \lambda_t \alpha_{st} a_s$$

donc  $\alpha_{st} \lambda_t = \lambda_s 2 \cos \frac{\pi}{m_{st}}$ . Il en résulte que  $\alpha_{st} = 4 \cos^2 \frac{\pi}{m_{st}}$ .

2) Soit  $(s, t) \in E'(T)$ . On a :

$$t(b_s) = \lambda_s a_s + \lambda_t 2 \cos \frac{\pi}{m_{st}} a_t = t(\lambda_s a_s) = \lambda_s a_s + \lambda_s l_{ts} a_t$$

donc  $\lambda_t 2 \cos \frac{\pi}{m_{st}} = \lambda_t l_{ts}$ . Nous obtenons  $\alpha_{st} = l_{st} l_{ts} = 4 \cos^2 \frac{\pi}{m_{st}}$ .

Les  $\alpha_{st}$  sont donc entièrement déterminés indépendamment de  $T$  et de  $s_0$ .

Il nous reste à déterminer les  $\lambda_s, (s \in S)$  et les  $l_e, (e \in E'(T))$ .

3) Si l'on ajoute l'arête  $e \in E'(T)$  à  $T$  on obtient un circuit

$$C := (s_1(=s), s_2, \dots, s_{n-1}(=t)).$$

On appelle  $p$  l'entrée dans  $C$ . On étudie d'abord le cas où  $2 \leq p \leq n-1$ , puis nous ferons les modifications nécessaires lorsque  $p=1$  ou  $p=n$ .

Pour simplifier les notations on pose

$B' := \prod_{k=1}^{n-1} 2 \cos \frac{\pi}{m_{k,k+1}}$  et  $B := B' 2 \cos \frac{\pi}{m_{n,n+1}}$  et aussi  $\alpha_k := \alpha_{k,k+1}$ , les indices étant pris (mod  $n$ ).

Soit  $q \in \{1, 2, \dots, n\}$ .

- Si  $q \geq p$  alors  $s_q \preccurlyeq s_{q+1}$  donc on a, d'après le 1),  $\lambda_q = 2 \cos \frac{\pi}{m_{q,q+1}} \lambda_{q+1}$  et on obtient pour  $p \leq q \leq n-1$ ,  $\lambda_q = \left( \prod_{k=q}^{n-1} 2 \cos \frac{\pi}{m_{k,q+1}} \right) \lambda_n$ .

En particulier  $\lambda_p = \left( \prod_{k=p}^{n-1} 2 \cos \frac{\pi}{m_{k,q+1}} \right) \lambda_n$ .

- Si  $2 \leq q \leq p$  alors  $s_q \preccurlyeq s_{q-1}$  donc on a, d'après le 1),  $\lambda_q = \left( \prod_{k=2}^q 2 \cos \frac{\pi}{m_{k,k+1}} \right) \lambda_1$ .

En particulier  $\lambda_p = \left( \prod_{k=2}^p 2 \cos \frac{\pi}{m_{k,k-1}} \right) \lambda_1 = \left( \prod_{k=1}^{p-1} 2 \cos \frac{\pi}{m_{k,k+1}} \right) \lambda_1$ . On obtient ainsi

$$\left( \prod_{k=p}^{n-1} 2 \cos \frac{\pi}{m_{k,k+1}} \right) \lambda_n = \left( \prod_{k=1}^{p-1} 2 \cos \frac{\pi}{m_{k,k+1}} \right) \lambda_1.$$

Nous avons vu au 2) que  $\lambda_n 2 \cos \frac{\pi}{m_{n,n+1}} = l_{m,1} \lambda_1$  et  $\lambda_1 2 \cos \frac{\pi}{m_{n,n+1}} = l_{1,n} \lambda_n$ . Nous obtenons alors :

$$\lambda_n B' 2 \cos \frac{\pi}{m_{n,n+1}} = \lambda_1 \left( \prod_{k=1}^{p-1} \alpha_k \right) 2 \cos \frac{\pi}{m_{n,n+1}} = \lambda_1 \left( \prod_{k=1}^{p-1} \alpha_k \right) l_{1,n}$$

d'où  $\left( \prod_{k=1}^{p-1} \alpha_k \right) l_{1,n} = B$ . De la même manière  $\left( \prod_{k=p}^{n-1} \alpha_k \right) l_{n,1} = B$ .

Ceci nous donne les valeurs de  $l_{1,n}$ ,  $l_{n,1}$  et des  $\lambda_p$  pour tout  $p$  en fonction de  $\lambda_1$ .

Si  $p=1$ , alors  $\prod_{k=1}^{p-1} \alpha_k = 1$  par convention et on obtient  $l_{1,n} = B$  et  $\alpha_n = B l_{n,1}$ .

Si  $p=n$ , alors  $\prod_{k=p}^{n-1} \alpha_k = 1$  par convention et on obtient  $l_{n,1} = B$  et  $\alpha_n = B l_{1,n}$ .

Nous procédons de la même manière pour toutes les arêtes  $e \in E'(T)$  et nous obtenons les valeurs de tous les paramètres.

### 3.5 Formes sesquilinéaires invariantes

Nous nous intéressons maintenant aux formes sesquilinéaires  $G$ -invariantes.

Soit  $(W, S)$  un système de Coxeter satisfaisant aux hypothèses H(Cox) et soit  $R$  une représentation de réflexion de  $W$  obtenue grâce à la construction fondamentale (arbre couvrant  $T$  et racine  $s_0$ ). On a posé, comme d'habitude  $G = \text{Im} R$ . Soit  $\theta \in \text{Aut } K$ . On cherche les formes  $\theta$ -sesquilinéaires  $G$ -invariantes.

Soit  $\Phi := \{\varphi | \varphi : M \times M \rightarrow K\}$ ,  $\varphi$  forme  $\theta$ -sesquilinéaire  $G$ -invariante ( $\varphi$  est linéaire par rapport à la première variable). Il est clair que  $\Phi$  est un  $K$ -espace vectoriel.

Si  $s \in S$ , il existe un unique chemin dans  $T$  qui joint  $s$  à  $s_0$  ( $s_0, s_1, \dots, s_p = s$ ). Pour  $0 \leq i \leq p-1$ , on a une racine  $\alpha_i$  de  $v_{m_{s_i, s_{i+1}}}(X)$ . On pose  $\prod_{T, s_0}(s) := \prod_{i=0}^{p-1} \alpha_i$ . On a alors le théorème :

**Théorème 3.**

1. On a  $\dim \Phi \leq 1$  ;
2. les deux assertions suivantes sont équivalentes :
  - (a)  $\dim \Phi = 1$
  - (b) i.  $\theta^2 = id_K$  ;
  - ii.  $K_0$  est contenu dans le sous-corps des points fixes de  $\theta$  ;
  - iii. soit  $e := (s, t) \in E'(T)$  ; alors  $e$  est contenu dans un unique circuit  $C(e) = \{s_1 = s, s_2 \cdots, s_{q-1}, s_q = t\}$  avec  $(s_i, s_{i+1}) \in E(T)$  ( $1 \leq i \leq q - 1$ ). On a

$$\theta(l_{st}) \prod_{T, s_0} (s) = l_{ts} \prod_{T, s_0} (t).$$

Si ces conditions sont satisfaites,  $\varphi$  est une forme  $\theta$ -hermitienne.

*Démonstration.* On va supposer qu'il existe une forme  $\theta$ -sesquilinéaire non nulle et  $G$ -invariante  $\varphi : M \times M \rightarrow K$ . Pour tout  $(s, t) \in S^2$ , on pose  $\beta_{st} := \varphi(a_s, a_t)$  et  $\beta_t := \beta_{tt}$ .

On procède en quelques étapes.

**Etape 1.** Si  $s$  et  $t$  dans  $S$  commutent et sont distincts, on a  $\beta_{st} = 0$ .

*Démonstration.*  $\beta_{st} = \varphi(a_s, a_t) = \varphi(s(a_s), s(a_t)) = \varphi(-a_s, a_t) = -\beta_{st}$ . Comme  $K$  est de caractéristique 0, on obtient  $\beta_{st} = 0$ .  $\square$

**Etape 2.** Soit  $(s, t) \in E(T)$  avec  $s \preccurlyeq t$ . Alors si  $\beta_{st} \neq 0$  on a :  $\beta_t = -2\beta_{st}$ ,  $\beta_{ts} = \beta_{st}$ ,  $\alpha_{st}\beta_s = -2\beta_{st}$  et  $\theta(\alpha_{st}) = \alpha_{st}$ .

*Démonstration.* On a :

$$\beta_{st} = \varphi(a_s, a_t) = \varphi(s(a_s), s(a_t)) = \varphi(-a_s, \alpha_{st}a_s + a_t) = -\beta_{st} - \theta(\alpha_{st})\beta_s,$$

d'où  $\theta(\alpha_{st})\beta_s = -2\beta_{st}$ . On a aussi :

$$\beta_{st} = \varphi(a_s, a_t) = \varphi(t(a_s), t(a_t)) = \varphi(a_s + a_t, -a_t) = -\beta_{st} - \beta_t$$

d'où  $\beta_t = -2\beta_{st}$ . On a par un calcul semblable :  $\beta_{ts} = -\alpha_{st}\beta_s - \beta_{ts}$ ,  $\alpha_{st}\beta_s = -2\beta_{ts}$  et aussi  $\beta_{ts} = -\beta_{ts} - \beta_t$ , d'où  $\beta_t = -2\beta_{ts}$ .

Nous voyons ainsi que  $\beta_{ts} = \beta_{st}$  et si  $\beta_{st} \neq 0$ ,  $\theta(\alpha_{st}) = \alpha_{st}$ . Il en résulte que  $\alpha_{st}$  est dans le sous-corps des points fixes de  $\theta$ .  $\square$

**Etape 3.** Soit  $(s_0, s_1, \cdots, s_p)$  une branche de  $T$ . Alors il existe  $\mu \in K$  tel que :

$$\beta_{s_i} = 2\mu \prod_{T, s_0} (s_i) \quad (0 \leq i \leq p) \quad \text{et} \quad \theta(\beta_{s_i}) = \beta_{s_i};$$

$$\beta_{s_{i-1}, s_i} = -\mu \prod_{T, s_0} (s_i) \quad (1 \leq i \leq p) \quad \text{et} \quad \theta(\beta_{s_{i-1}, s_i}) = \beta_{s_{i-1}, s_i}.$$

*Démonstration.* Nous procédons par récurrence sur  $p$ . Si  $p = 1$ , nous appliquons le résultat de l'étape 2 :  $\alpha_{s_0 s_1} \beta_{s_0} = -2\beta_{s_0 s_1}$  et nous posons  $\beta_{s_0 s_1} = -\mu \alpha_{s_0 s_1}$  avec  $\mu \in K$  et nous supposons dans la suite que  $\mu \neq 0$  (i. e. que la forme  $\varphi$  est non nulle). On a alors  $\beta_{s_0} = 2\mu$ ,  $\beta_{s_1} = 2\mu \alpha_{s_0 s_1}$ . Ce sont les formules pour  $i = 0$  et  $i = 1$  pour  $\beta_{s_i}$ .

Supposons  $i \geq 2$  et le résultat vrai pour  $i$  :

$$\beta_{s_{i-1} s_i} = -\mu \prod_{T, s_0} (s_i), \quad \beta_{s_i} = 2\mu \prod_{T, s_0} (s_i)$$

D'après l'étape 2, on a :

$$\alpha_{s_i s_{i+1}} \beta_{s_i} = -2\beta_{s_i s_{i+1}} = 2\mu \left( \prod_{T, s_0} (s_i) \right) \alpha_{s_i s_{i+1}}$$

donc  $\beta_{s_i s_{i+1}} = -\mu \prod_{T, s_0} (s_{i+1})$  et  $\beta_{s_{i+1}} = 2\mu \prod_{T, s_0} (s_{i+1})$ . Le résultat est donc vrai pour tout  $i$ .  $\square$

**Etape 4.** La dimension de l'espace vectoriel  $\Phi$  est  $\leq 1$ .

*Démonstration.* Soit  $t \in S$  tel que  $(s_0, t) \in E(T)$  et  $s_1 \neq t$ . D'après l'étape 2,  $\alpha_{s_0 t} \beta_{s_0} = -2\beta_{s_0 t}$  donc  $\beta_{s_0 t} = -\mu \alpha_{s_0 t}$ .

Il en résulte d'abord que  $\beta_{s_0 t}$  est non nul, puis que l'on peut appliquer l'étape 3 à toutes les branches de  $T$  qui contiennent  $t$ . En faisant de même pour toutes les autres branches de  $T$  qui partent de  $s_0$ , on a le résultat :  $\Phi$  ne dépend que de  $\mu$ , donc  $\dim \Phi \leq 1$ .  $\square$

**Etape 5.** La condition (b) est satisfaite.

*Démonstration.* Soient  $e := (s, t) \in E'(T)$  et  $C(e)$  l'unique circuit de  $\Gamma(W)$  obtenu en ajoutant l'arête  $e$  à  $T$ . On a

$$\beta_s = 2 \prod_{T, s_0} (s), \quad \beta_t = 2 \prod_{T, s_0} (t), \quad s(a_t) = l_{st} a_s + a_t, \quad t(a_s) = a_s + l_{ts} a_t.$$

On obtient :

$$\beta_{st} = \varphi(a_s, a_t) = \varphi(s(a_s), s(a_t)) = \varphi(-a_s, l_{st} a_s + a_t) = -\theta(l_{st}) \beta_s - \beta_{st}$$

$$\beta_{st} = \varphi(t(a_s), t(a_t)) = \varphi(a_s + l_{ts} a_t, -a_t) = -\beta_{st} - l_{ts} \beta_t$$

d'où :

$$\beta_{st} = -\theta(l_{st}) \prod_{T, s_0} (s) = -l_{ts} \prod_{T, s_0} (t) \tag{1}$$

Par un calcul semblable, on obtient :

$$\beta_{ts} = -l_{st} \prod_{T,s_0}(s) = -\theta(l_{ts}) \prod_{T,s_0}(t) \quad (2)$$

On a  $\theta(\prod_{T,s_0}(s)) = \prod_{T,s_0}(t)$  et  $\theta(\prod_{T,s_0}(t)) = \prod_{T,s_0}(s)$  d'après l'étape 3. Appliquons  $\theta$  à l'équation (1) :

$$\theta(\beta_{st}) = -\theta^2(l_{st}) \prod_{T,s_0}(s) = -\theta(l_{ts}) \prod_{T,s_0}(t) = \beta_{ts} = -l_{st} \prod_{T,s_0}(s).$$

On en déduit que  $\theta(\beta_{st}) = \beta_{ts}$  et  $\theta^2(l_{st}) = l_{st}$ .

De même en appliquant  $\theta$  à l'équation (2), on obtient :  $\theta(\beta_{ts}) = \beta_{st}$  et  $\theta^2(l_{ts}) = l_{ts}$ .

On a, en multipliant l'équation (1) par  $l_{st}$  :

$$l_{st}\theta(l_{st}) \prod_{T,s_0}(s) = \alpha_{st} \prod_{T,s_0}(t)$$

mais  $\theta(l_{st}\theta(l_{st})) = \theta(l_{st})\theta^2(l_{st}) = \theta(l_{st})l_{st}$ , donc  $\theta(l_{st})l_{st}$  est dans le sous-corps des points fixes de  $\theta$ . Il en est donc de même de  $\alpha_e$ . Si nous appliquons ceci à toutes les arêtes de  $E'(T)$ , nous voyons que  $K_0$  est contenu dans le sous-corps des points fixes de  $\theta$  et, comme  $K = K_0(l_e | e \in E'(T))$ , on a  $\theta^2 = id_K$ .  $\square$

**Etape 6.** Fin de la démonstration.

Si la condition (b) est satisfaite, alors les formules obtenues précédemment montrent que  $\dim \Phi = 1$  et que tous les éléments de  $\Phi$  sont des formes  $\theta$ -hermitiennes.  $\square$

*Remarque 1.* Si  $s_p$  est l'entrée dans le circuit  $C(e)$  de l'étape 5, on obtient après simplifications, où  $C(e) = (s = s_1, \dots, s_p, \dots, s_q = s_t)$  :

$$\theta(l_{st}) \prod_{k=1}^{p-1} \alpha_{s_k, s_{k+1}} = l_{ts} \prod_{k=p}^{q-1} \alpha_{s_k, s_{k+1}};$$

si  $p = 1$ ,  $\theta(l_{st}) = l_{ts} \prod_{k=1}^{q-1} \alpha_{s_k, s_{k+1}}$  ; si  $p = q$ ,  $\theta(l_{st}) \prod_{k=1}^{q-1} \alpha_{s_k, s_{k+1}} = l_{ts}$ .

**Corollaire 1.** Si  $\Gamma(W)$  est un arbre, alors  $\theta = id_K$  (et  $K = K_0$ ),  $\dim \Phi = 1$  et tout  $\varphi \in \Phi$  est une forme bilinéaire symétrique.

*Démonstration.* C'est une conséquence immédiate de la démonstration précédente.  $\square$

**Corollaire 2.** Si l'on considère la représentation obtenue par la construction fondamentale, équivalente à la représentation géométrique, alors :

1.  $\dim \Phi = 1$  et  $\theta = id_k$  ;
2.  $\varphi \in \Phi$ ,  $\varphi$  est une forme bilinéaire symétrique.

*Démonstration.* Il suffit de comparer les formules. □

*Remarque 2.* En général on a  $\dim \Phi = 0$ . On utilise la remarque 1 : si  $\prod_{k=1}^{p-1} \alpha_{s_k, s_{k+1}} \neq \prod_{k=p}^{q-1} \alpha_{s_k, s_{k+1}}$ , on prend  $l_{st} = 1$  et si  $\prod_{k=1}^{p-1} \alpha_{s_k, s_{k+1}} \neq \prod_{k=p}^{q-1} \alpha_{s_k, s_{k+1}}$ , on prend pour  $l_{st}$  un élément tel que  $\theta(l_{st}) = -l_{st}$ . Dans les deux cas on a une impossibilité si  $\varphi \neq 0$ .

**Ceci explique pourquoi nous n'utiliseront pas en général les éléments de  $\Phi$ .**

### 3.6 La matrice de Cartan

Soit  $(W, S)$  un système de Coxeter qui satisfait aux hypothèses H(Cox). On choisit un arbre couvrant de  $\Gamma(W)$  ainsi qu'un élément  $s_1$  de  $S$ . Pour tout  $e$  arête de  $\Gamma(W)$ , on choisit  $\alpha_e$  une racine de  $v_{m_e}(X)$  ; pour tout  $e$  arête de  $E'(T)$ , on choisit  $l_e$  et  $l_{e'}$  dans  $K$  tels que  $l_e l_{e'} = \alpha_e$ . Grace à la construction fondamentale, on obtient une représentation de réflexion  $R : W \rightarrow GL(M)$  et l'on pose  $G := Im R$ .

La **matrice de Cartan**  $Car(G) = (c_{rs})_{(r,s) \in S \times S}$  où, si  $s_j(a_i) = a_i - c_{ji} a_j$  :

1.  $\forall r \in S, c_{rr} = 2$  ;
2.  $\forall (r, s) \in S \times S, \text{ si } rs = sr \neq 1, c(r, s) = 0$  ;
3.  $\forall e = (r, s) \in E(T), \text{ si } r \preceq s \text{ alors } c_{rs} = -\alpha_e \text{ et } c_{sr} = -1$  ;
4.  $\forall e = (r, s) \in E'(T), c_{rs} = -l_e \text{ et } c_{sr} = -l_{e'}$ .

Par construction si  $x \in M$  et si on considère la matrice  $M(x)$  dont les lignes sont les coefficients de  $s_i(x)$ , on a :

$$M(x) = I_n x - Car(G)x.$$

On pose :  $\Delta(G) := \det Car(G)$  (=  $\Delta$  s' il ni y a pas de confusion) et on appelle  $\Delta(G)$  le **discriminant** de la représentation  $R$ .

On a la propriété suivantes de  $Car(G)$

**Proposition 11.** *On garde les hypothèses et notations précédentes. Supposons qu'il existe une forme bilinéaire non nulle  $G$ -invariante  $\varphi : M \times M \rightarrow K$ . alors on a la formule :*

$$(\varphi(a_i, a_j))_{1 \leq i, j \leq n} = \text{diag}(1, \gamma_2, \dots, \gamma_n) Car(G)$$

où l'on a posé  $\varphi(a_i, a_i) = 2\gamma_i$  ( $1 \leq i \leq n$ ).

*Démonstration.* Comme dans la partie 2 du théorème, on pose  $\beta_{ij} := \varphi(a_i, a_j)$  ( $1 \leq i, j \leq n$ ) et  $\beta_i := \varphi(a_i, a_i) = 2\gamma_i$  ( $1 \leq i \leq n$ ). On a d'après la démonstration du théorème 3 :

- si  $s_i s_j = s_j s_i \neq 1$ ,  $\beta_{ij} = 0$
- si  $e := (s_i, s_j) \in E(T)$  et si  $s_i \preceq s_j$ , on a  $\beta_{ij} = -\alpha_e$  et  $\beta_i = 2\gamma_i$
- si  $e := (s_i, s_j) \in E'(T)$ , on a  $\beta_{ij} = -l_e \gamma_i$ .

Donc la ligne correspondant à  $a_i$  est la même que la  $i$ -ième ligne de  $Car(G)$  multipliée par  $\gamma_i$ , d'où le résultat.  $\square$

### 3.7 La représentation duale ou contragrédiente

Nous étudions maintenant la représentation duale  $R^*$  de la représentation  $R$ .

Soit  $\mathcal{A}^* = (a_s^* | s \in S)$  la base duale de la base  $\mathcal{A}$  de  $M$ .

On a  $a_s^*(a_t) = \delta_{st}$  ( $\forall (s, t) \in S^2$ ).

Pour  $1 \leq i, j \leq n$  si  $S = \{s_1, \dots, s_n\}$ , on peut écrire  $s_i(a_j) = a_j - \lambda_{ij} a_i$  avec  $\lambda_{ii} = 2$  et si  $s_i$  et  $s_j$  commutent et sont distincts,  $\lambda_{ij} = \lambda_{ji} = 0$ . Dans la base  $\mathcal{A}^*$  on a  $s_i(a_j^*) = a_j^*$  si  $i \neq j$  et  $s_i(a_i^*) = \sum_{k=1}^n \lambda_{ik} a_k^*$  ( $1 \leq i \leq n$ ). On obtient alors, en posant  $A'_i := 2a_i^* - \sum_{k=1, k \neq i}^n \lambda_{ik} a_k^*$  ( $1 \leq i \leq n$ ),  $[M^*, s_i] = \langle A'_i \rangle$ , ce qui montre que les  $s_i$  opèrent comme des réflexions sur  $M^*$ . Le déterminant du système de vecteurs  $(A'_i)$  ( $1 \leq i \leq n$ ) de  $M^*$  est  $\Delta(G)$ . On voit donc que  $(A'_1, \dots, A'_n)$  est une base de  $M^*$  si et seulement si  $\Delta(G) \neq 0$ , c'est à dire si et seulement si  $R$  est irréductible. Nous montrons que dans ce cas la représentation  $R^*$  est une représentation de réflexion de  $W$  en trouvant une base adaptée.

Soient  $T$  un arbre couvrant de  $\Gamma(W)$  et  $s_1$  la racine de cet arbre. On pose  $A_1 := A'_1$ . On applique maintenant la construction fondamentale à la base  $A' := (A'_i | 1 \leq i \leq n)$  de  $M^*$ .

Soient  $t \in S$  et  $C := (s_1, s_2, \dots, s_m = t)$  l'unique chemin de  $T$  reliant  $s_1$  à  $t$ . On pose  $A_i := s_i.A_{i-1} - A_{i-1}$  pour  $2 \leq i \leq m$ . Chaque  $A_i$  est un multiple de  $A'_i$  et on cherche le coefficient de proportionnalité.

Pour tout  $i, j$  ( $i \neq j$ ), on a  $s_i(a_j^*) = a_j^*$ . On montre, par récurrence sur  $j$ , que  $A_j = (\prod_{T, s_1}(s_j))A'_j$ . Pour  $j = 1$ , on a bien  $A_1 = A'_1$  par définition. Supposons le résultat vrai pour  $j$ . Alors  $A_{j+1} = s_{j+1}.A_j - A_j = (\prod_{T, s_1}(s_j))(s_{j+1}.A'_j - A'_j)$ .

On a

$$\begin{aligned} s_{j+1}.A'_j - A'_j &= (-2a_j^* + \sum_{k=1, k \neq j, j+1}^n \lambda_{jk} a_k^* + \lambda_{j, j+1} s_{j+1}.a_{j+1}^*) \\ &\quad + (2a_j^* - \sum_{k=1, k \neq j, j+1}^n \lambda_{jk} a_k^* - \lambda_{j, j+1} a_{j, j+1}^*) \end{aligned}$$

donc  $s_{j+1}.A'_j - A'_j = \lambda_{j, j+1}(s_{j+1}.a_{j+1}^* - a_{j+1}^*) = \lambda_{j, j+1}A'_{j+1}$  et nous avons le résultat :  $A_{j+1} = (\prod_{T, s_1}(s_{j+1}))A'_{j+1}$  car  $\lambda_{j, j+1} = \alpha_j$ .

Soit maintenant  $(s, t) \in E'(T)$ . On a :

$$A'_s = -2a_s^* + \sum_{u \in S, u \neq s} \lambda_u a_u^*, \quad A'_t = -2a_t^* + \sum_{v \in S, v \neq t} \mu_v a_v^*$$

et, d'après le résultat précédent

$$A_s = \left( \prod_{T, s_1} (s) \right) A'_s, \quad A_t = \left( \prod_{T, s_1} (t) \right) A'_t.$$

De plus

$$t.A'_s = -2a_s^* + \sum_{u \in S, u \neq s, t} \lambda_u a_u^* + \lambda_t s_t . a_t^* = A'_s + \lambda_t (s_t . a_t^* - a_t^*) = A'_s + l_{ts} A'_t$$

donc

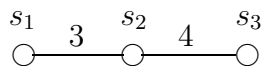
$$t.A_s = A_s + \frac{(\prod_{T, s_1} (s)) l_{ts}}{(\prod_{T, s_1} (t))} A_t, \quad s.A_t = A_t + \frac{(\prod_{T, s_1} (t)) l_{st}}{(\prod_{T, s_1} (s))} A_s.$$

## 4 Effet du changement de racines pour les représentations de certains groupes de Coxeter finis.

### 4.0.1 Nous montrons comment changer la racine de l'arbre $T$ permet de distinguer les systèmes de racines de type $B_l$ et $C_l$ .

Nous supposons que  $l = 3$  car la démonstration est la même si  $l \geq 4$  (mais plus longue à écrire!).

Nous avons le système de Coxeter  $(W, S)$  avec  $S = \{s_1, s_2, s_3\}$  et le diagramme :



qui est un arbre.

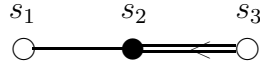
Nous choisissons  $s_2$  comme racine. Nous obtenons alors la matrice de Cartan :

$$Car(W) = \begin{pmatrix} 2 & -1 & 0 \\ -1 & 2 & -2 \\ 0 & -1 & 2 \end{pmatrix}$$

et si  $\varphi \in \Phi$ ,  $\varphi$  normalisée de telle sorte que  $\varphi(a_1, a_2) = -1$ , on a

$$(\varphi(a_i, a_j))_{1 \leq i, j \leq 3} = \begin{pmatrix} 2 & -1 & 0 \\ -1 & 2 & -2 \\ 0 & -2 & 4 \end{pmatrix}$$

Donc le diagramme de Dynkin est :



et nous obtenons un système de racines de type  $C_3$ .

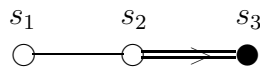
2) Nous choisissons  $s_3$  comme racine. Nous obtenons alors la matrice de Cartan :

$$Car(W) = \begin{pmatrix} 2 & -1 & 0 \\ -1 & 2 & -1 \\ 0 & -2 & 2 \end{pmatrix}$$

et si  $\varphi' \in \Phi$ ,  $\varphi'$  normalisée de telle sorte que  $\varphi'(a_1, a_2) = -1$ , on a

$$(\varphi'(a_i, a_j))_{1 \leq i, j \leq 3} = \begin{pmatrix} 2 & -1 & 0 \\ -1 & 2 & -1 \\ 0 & -1 & 1 \end{pmatrix}$$

Donc le diagramme de Dynkin est :

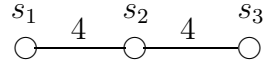


et nous obtenons un système de racines de type  $B_3$ .

Soient  $R$  la représentation de  $W$  lorsque nous prenons  $s_2$  comme racine et  $R'$  la représentation de  $W$  lorsque nous prenons  $s_3$  comme racine. Avec les notations de la proposition 8, nous avons :  $\Gamma_1 = \{s_1, s_2\}$  et  $\Gamma_2 = \{s_3\}$ ,  $\alpha = \alpha_{m_{s_2 s_3}} = 2$ , donc  $g \in GL(M)$  défini par  $g(a_1) = 2a_1$ ,  $g(a_2) = 2a_2$ ,  $g(a_3) = a_3$  est un opérateur d'entrelacement entre  $R$  et  $R'$ . Mais  $g$  est à coefficients entiers et  $g^{-1}$  ne l'est pas ; les représentations  $R$  et  $R'$  sont  $\mathbb{Q}$ -équivalentes mais ne sont pas  $\mathbb{Z}$ -équivalentes. Les formes bilinéaires symétriques  $\varphi$  et  $\varphi'$  ne sont pas  $\mathbb{Z}$ -équivalentes.

#### 4.0.2 Le groupe de Coxeter $BC_3$ .

Nous faisons le même travail avec le groupe de Coxeter  $BC_3$ . Son graphe est :



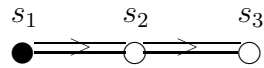
1) Si nous choisissons  $s_1$  comme racine, on obtient la représentation  $R_1$  et nous avons

$$\text{Car}(G) = \begin{pmatrix} 2 & -2 & 0 \\ -1 & 2 & -2 \\ 0 & -1 & 2 \end{pmatrix}, \quad \Delta(G) = 0$$

et  $\Phi$  est de dimension 1 engendré par  $\varphi$  dont la matrice dans la base  $A = (a_1, a_2, a_3)$  est :

$$(\varphi(a_i, a_j))_{1 \leq i, j \leq 3} = \begin{pmatrix} 1 & -1 & 0 \\ -1 & 2 & -2 \\ 0 & -2 & 4 \end{pmatrix}$$

on a donc le diagramme de Dynkin :



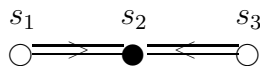
2) Si nous choisissons  $s_2$  comme racine, on obtient la représentation  $R_2$  et nous avons

$$\text{Car}(G) = \begin{pmatrix} 2 & -1 & 0 \\ -2 & 2 & -2 \\ 0 & -1 & 2 \end{pmatrix}, \quad \Delta(G) = 0$$

et  $\Phi$  est de dimension 1 engendré par  $\varphi$  dont la matrice dans la base  $A = (a_1, a_2, a_3)$  est :

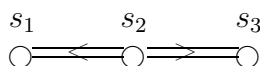
$$(\varphi(a_i, a_j))_{1 \leq i, j \leq 3} = \begin{pmatrix} 2 & -1 & 0 \\ -1 & 1 & -1 \\ 0 & -1 & 2 \end{pmatrix}$$

on a donc le diagramme de Dynkin :



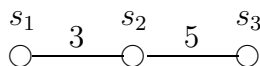
L'opérateur d'entrelacement  $g$  entre ces deux représentations est donné par :  $g(a_1) = 2a_1, g(a_2) = 2a_2, g(a_3) = a_3$ . On a  $K = K_0 = \mathbb{Q}$ ,  $R_1$  et  $R_2$  sont  $\mathbb{Q}$ -équivalentes mais ne sont pas  $\mathbb{Z}$ -équivalentes.

3) On ne peut pas obtenir par ce procédé la représentation  $R_3$  qui donne le diagramme de Dynkin suivant :



### 4.0.3 Le groupe de Coxeter $W(H_3)$ .

Nous faisons le même travail avec le groupe de Coxeter  $W(H_3)$ . Son graphe est :



Le polynôme  $u_5(X) = v_5(X) = X^2 - 3X + 1$  a comme racines :  $\frac{3+\sqrt{5}}{2}, \frac{3-\sqrt{5}}{2}$ .

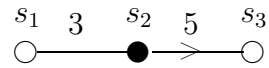
1) Nous choisissons  $s_2$  comme racine et  $\alpha$  une racine de  $u_5(X)$ . Nous obtenons la matrice de Cartan :

$$Car(G) = \begin{pmatrix} 2 & -1 & 0 \\ -1 & 2 & -\alpha \\ 0 & -1 & 2 \end{pmatrix}, \quad \Delta(G) = 6 - 2\alpha$$

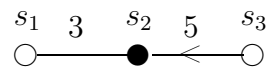
et  $\Phi$  est de dimension 1 engendré par  $\varphi$  dont la matrice dans la base  $A = (a_1, a_2, a_3)$  est :

$$(\varphi(a_i, a_j))_{1 \leq i, j \leq 3} = \begin{pmatrix} 2 & -1 & 0 \\ -1 & 2 & -\alpha \\ 0 & -\alpha & 2\alpha \end{pmatrix}$$

Si on choisit  $\alpha = \frac{3+\sqrt{5}}{2}$ , alors on obtient le diagramme de Dynkin :



Si on choisit  $\alpha = \frac{3-\sqrt{5}}{2}$ , alors on obtient le diagramme de Dynkin :



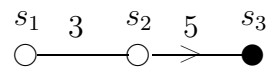
2) Nous choisissons  $s_3$  comme racine et  $\alpha$  une racine de  $u_5(X)$ . Nous obtenons la matrice de Cartan :

$$\text{Car}(G) = \begin{pmatrix} 2 & -1 & 0 \\ -1 & 2 & -1 \\ 0 & -\alpha & 2 \end{pmatrix}, \quad \Delta(G) = 6 - 2\alpha$$

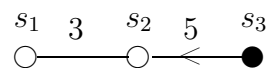
et  $\Phi$  est de dimension 1 engendré par  $\varphi$  dont la matrice dans la base  $A = (a_1, a_2, a_3)$  est :

$$(\varphi(a_i, a_j))_{1 \leq i, j \leq 3} = \begin{pmatrix} 2 & -1 & 0 \\ -1 & 2 & -1 \\ 0 & -1 & \alpha + 1 \end{pmatrix}$$

Si on choisit  $\alpha = \frac{3+\sqrt{5}}{2}$ , alors on obtient le diagramme de Dynkin :



Si on choisit  $\alpha = \frac{3-\sqrt{5}}{2}$ , alors on obtient le diagramme de Dynkin :



Nous voyons ainsi que changer de racine revient à changer  $\alpha$  en  $3 - \alpha$ , c'est à dire que l'on obtient la représentation conjuguée de la représentation  $R$ .

## Références

- [1] N. Bourbaki *Groupes et algèbres de Lie. Chapitres 4, 5, 6* Hermann (1968)
- [2] M. Broué, G. Malle, R. Rouquier *Complex reflection groups, braids groups, Hecke algebra* J. Reine Angew. Math. 500 (1988) 127–190
- [3] M. Broué *Introduction to Complex Reflection Groups and their Braids Groups* Lecture notes in Mathematics 1988 Springer Verlag (2010)
- [4] A. M. Cohen *Finite Complex Reflection Groups* Ann. scient. Ec. Norm. Sup. t. 9 (1976) 379–436
- [5] M. Geck, G. Pfeiffer *Characters of Finite Coxeter Groups and Iwahori-Hecke Algebras* London Math. Soc. monographs new Series 21 Clarendon Press Oxford (2000)
- [6] R. Kane *Reflection Groups and Invariant Theory* Société Mathématique du Canada Springer Verlag (2001)
- [7] G. Lehrer, D. Taylor *Unitary Reflection Groups* Australian Mathematical Society Series 20 Cambridge (2009)
- [8] Oystien Ore *Theory of Graphs* Amer. Math. Soc. (1962) Colloquium publications 38
- [9] F. Zara *Generalized reflection groups* Journal of Algebra 255 (2002) 221–246

Université de Picardie Jules Verne  
Pôle Scientifique  
Laboratoire LAMFA, UMR CNRS 7352  
33, rue Saint Leu  
80039 Amiens Cedex  
francois.zara@u-picardie.fr